

PAPER DETAILS

TITLE: X - Isinlari Difraksiyon Yöntemi ile 4 - Benzoil - 5 - Fenil - Tiyofen 2, 3 Dion'un Kristal
Yapisinin Arastirilmasi

AUTHORS: Hatice EYNİHAN,Mehmet AKKURT,Hüseyin SOYLU

PAGES: 1164-1180

ORIGINAL PDF URL: <https://dergipark.org.tr/tr/download/article-file/252367>

X-IŞINLARI DİFRAKSİYON YÖNTEMİ İLE 4-BENZOİL-5-FENİL-TİYOFEN 2,3-DİON'UN KRİSTAL YAPISININ ARAŞTIRILMASI

Hatice EYNİHAN*, Mehmet AKKURT, Hüseyin SOYLU

*Erciyes Üniversitesi, Fen Bilimleri Enstitüsü, TR-38039-KAYSERİ
Erciyes Üniversitesi, Fen-Edebiyat Fakültesi, Fizik Bölümü, TR-38039-KAYSERİ

ÖZET

Bu çalışmada, $C_{17}H_{10}O_3S$ kristalinin x-işinleri difraksiyon metodları ile kristal yapısı araştırıldı. Buerger Precession, Weissenberg ve döner kristal teknikleri kullanıldı. Birim hücre parametreleri ölçüldü, kristal sistemi, sönüm şartları belirlendi. Elde edilen sonuçlara göre kristal verileri: Ortorombik, $P_{2}1_21_21$ (No:19), $a=10.51\pm0.02$ Å, $b=14.84\pm0.06$ Å, $c=18.12\pm0.06$ Å, $\alpha=\beta=\gamma=90^\circ$, $V=2826.15$ Å 3 , $M=294.333$ amu, $d_M=1.37$ g.cm $^{-3}$, $d_h=1.38$ g.cm $^{-3}$, $F(000)=608$, $Z=8$, $T=293$ °K, $\lambda(CuK\alpha)=1.5418$ Å, $\mu=20.3$ cm $^{-1}$.

THE INVESTIGATION OF THE CRYSTAL STRUCTURE OF 4-BENZOYL-5-PHENYL-THIOPHENE-2,3-DIONE BY X-RAY DIFFRACTION METHODS

SUMMARY

In this study, the crystal structure of $C_{17}H_{10}O_3S$ was investigated by x-ray diffraction methods. Buerger precession, Weissenberg and oscillation techniques were used. The unit cell parameters were measured. The crystal system and systematic extinctions were determined. The crystal data: Orthorhombic, $P_{2}1_21_21$ (No:19), $a=10.51\pm0.02$ Å, $b=14.84\pm0.06$ Å, $c=18.12\pm0.06$ Å, $\alpha=\beta=\gamma=90^\circ$, $V=2826.15$ Å 3 , $M=294.333$ amu, $d_M=1.37$ g.cm $^{-3}$, $d_c=1.38$ g.cm $^{-3}$, $F(000)=608$, $Z=8$, $T=293$ °K, $\lambda(CuK\alpha)=1.5418$ Å, $\mu=20.3$ cm $^{-1}$.

GİRİŞ

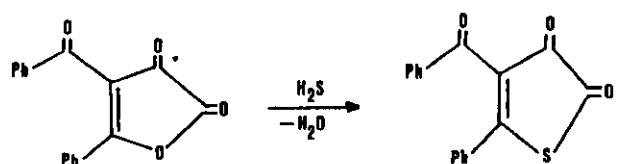
Son yıllarda yüksek iletkenliğe sahip, dope edilmiş polimerlerin keşfi fizikçiler ve kimyacılar arasında ilgi uyandırmıştır. Yeni metallerin gelişimi, yarı iletkenler veya metallerin elektriksel iletkenlikleri ile plastiklerin dayanıklılığı ve hafif ağırlıkta oluşları bu alandaki etkilerin büyümesinde önemli rol oynamıştır. Dopingsiz yarıiletken özelliği gösteren polimerlerin araştırılması kimyacılar için önemli bir konudur. Böyle polimerlerin katı hal özellikleri arasında yer alan band aralığı değeri, elektriksel iletim, optik özellikler ve mağnetik davranış elektronik özellikleri yönlendiren önemli parametrelerdir [1].

Tiyofen başlangıç olmak üzere polimerlerin sentezlenmesi için yapılan bazı çalışmalar literatürde rapor edilmiştir. Bu yüzden tiyofen türevlerinin kristal sistemi birim hücre parametrelerinin tayini ve uzay grublarının belirlenmesi sentezlenen bileşigin özelliklerinin belirlenmesinde ve diğer incelemelerde kullanılmasında önem taşımaktadır.

DENEYSEL ÇALIŞMALAR, VERİLER VE HESAPLAMALAR

Kristalin Elde Edilişi

0.5 gr kuru C₁₇H₁₀O₄ maddesinden alınır. Üzerine 50 ml destile (Merck) toluen ilave edilerek çözünmesi sağlanır. Çözündükten sonra kip cihazına monte edilen balon joje içerisinde konularak sistemden (FeS+HCl) gazi nemsiz ortamda H₂S (P₂O₅ ve CaCl₂ tuzları ile nem tutulur) gazi geçirilerek, önceden açık sarı renkli çözeltinin king portakal kırmızı rengi alması sağlanır. Süre rengin oluşumuna göre tespit edilir. Sonra çözelti bir rotavapor balonuna konarak 40 °C'de vakumla toluen uçurulur. Balon dibinde kalan yağımı madde soğuyunca üzerine 2-3 ml mutlak (susuz) eter ilave edilerek 2 gün bekletilir. Çöken, 4-benzoil-5-fenil-tiyofen-2,3-dion, koyu açık kahve, ya da king portakal rengindeki kristaller vakumlanarak çözülür. P₂O₅ ile desikatörde kuruması sağlanır. Kristalin ergime noktası 102 °C'dir. Reaksiyon aşağıda Şekil 1'de gösterilmiştir.



Şekil 1. Reaksiyon Mekanizması

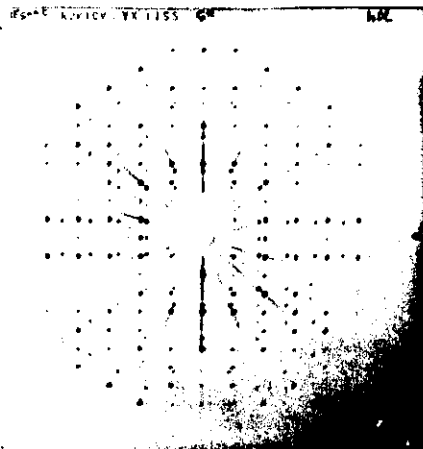
Buerger Presesyon Metodu İle İncelemeler

Kristal yapı analizi çalışmalarının sağlıklı yürütülmesi için uygun büyülüklükte kristal yapı kusurlarından arınmış bir kristal ile çalışmak gereklidir. Bu çalışmada kullanılan kristaller stereo mikroskop altında seçildi ve polarizasyon mikroskopu ile kristallerin tek kristal oldukları test edildi.

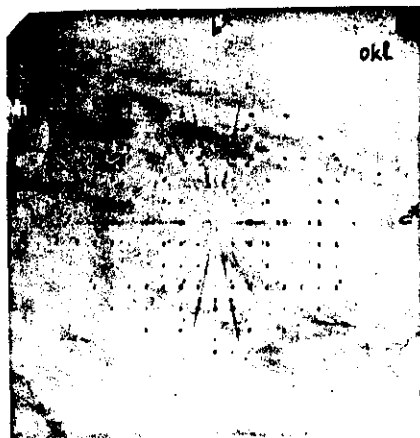
Kristal ince cam çubuk ucuna büyümeye doğrultusunda takılıp, gonyometre başlığına monte edildi. Kristalin düzgün yüzeylerinden bir tanesinin gonyometre arkalarından birine gelmesine dikkat edildi. İlk olarak Buerger kamerasında çalışmaya başlandı. Kristalin birim hücre eksen parametrelerinin bulunması, simetri sınıfı, sistematik sönüm şartları ve böylece uzay grubunun tayin edilmesine çalışıldı. Buerger presesyon metodu ile ters örgü tabakaları bir faktörle büyütülverek distorsiyonsuz olarak düz bir film üzerine tesbit edilir. Böyle bir film üzerindeki difraksiyon deseninde ters orgünün geometrisi tam olarak görülür. Bu nedenle birim hücrenin seçimi ve boyutlarının ölçülmesi, uzay grubunun tayini, yansımaların indislenmesi diğer metodlara kıyasla, "Buerger presesyon" metoduyla daha kolay olur [2].

Bu çalışmada kullanılan kameralın büyütme faktörü $F=60$ mm ve x-ışının dalga boyu $\lambda(\text{CuK}\alpha)=1.5418 \text{ \AA}$ 'dur. Buerger presesyon tekniği ile önce $0\bar{k}l$, $h0l$, $hk0$ sıfırıncı tabaka fotoğrafları çekildi (Şekil 2,3,4).

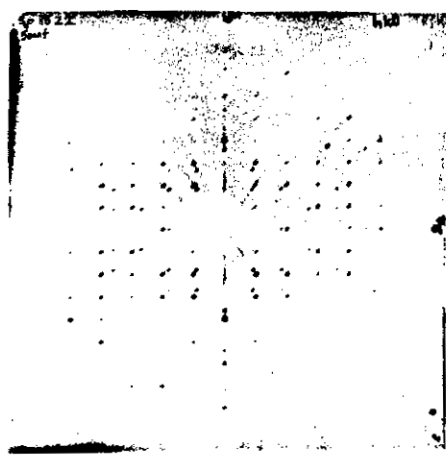
Bu şeillerdeki fotoğrafların incelenmesinden, $a \neq b \neq c$ ve $\alpha = \beta = \gamma = 90^\circ$ olduğu için kristal sisteminin ortorombik olduğuna karar verildi. Sıfırıncı tabaka filmleri üzerinde 0.01 mm hassaslıkla Enraf-Nonius marka mikrodensitometrede yapılan ölçümler ve birim hücre parametrelerinin tayin edilmesi için yapılan hesaplamalar Tablo 1,2 ve 3'de gösterilmiştir.



Şekil 2. (h0l) Buerger Presesyon Fotoğrafi,
45 kV, 26 mA, CuK α ,filtresiz,
ışınlama süresi:18 saat.



Şekil 3. (0kl) Buerger Presesyon Fotoğrafi,
45 kV, 26 mA, CuK α ,filtresiz,
ışınlama süresi:8 saat.



Şekil 4. ($hk0$) Buerger Presesyon Fotoğrafi,
45 kV, 25 mA, CuK α , filtresiz,
Işınılama süresi: 9.5 saat.

Aralık No	Sayısı (n)			Δx (mm)	$a^* = \frac{\Delta x}{n}$ (mm)	$a = \frac{a^*}{\sin \theta}$ (Å)
		x_1 (mm)	x_2 (mm)			
1	4	108.70	73.43	35.27	8.82	10.49
2	6	117.38	64.61	52.77	8.79	10.52
3	8	126.08	55.73	70.35	8.79	10.52
4	8	126.12	55.77	70.35	8.79	10.52
5	8	126.06	55.74	70.32	8.79	10.52
6	9	126.09	46.90	79.19	8.80	10.51
7	6	117.32	64.50	52.82	8.80	10.51
8	8	126.00	55.82	70.18	8.77	10.55
9	10	135.80	46.92	88.88	8.89	10.41 $a = 10.52 \pm 0.04$ Å
10	8	126.16	55.96	70.20	8.77	10.55
11	10	134.80	46.06	88.74	8.87	10.43
12	8	126.06	55.96	70.10	8.76	10.56
13	10	134.58	47.00	87.58	8.76	10.56
14	10	134.68	47.18	87.50	8.75	10.57
15	8	126.00	55.75	70.25	8.78	10.54
16	8	126.02	55.59	70.43	8.80	10.51
17	8	126.08	55.64	70.44	8.81	10.50
18	6	117.20	64.50	52.70	8.78	10.54

Tablo 1. Şekil 2'deki Film Üzerinde Ölçülen Değerler ve Hesaplanan a-birim Hücre Boyutu

Aralık No	Sayısı (n)	y_1 (mm)	y_2 (mm)	Δy (mm)	Δy	$\frac{\lambda F}{b}$
					n	b* (Å)
1	10	113.76	51.06	62.70	6.27	14.75
2	8	113.64	63.92	49.72	6.22	14.87
3	10	125.94	64.28	61.66	6.17	14.99
4	6	101.45	64.14	37.31	6.22	14.87
5	16	132.34	33.14	99.20	6.20	14.92
6	16	132.86	32.24	100.62	6.29	14.71 b=14.87±0.09 Å
7	10	101.40	39.29	62.11	6.21	14.90
8	10	101.46	39.14	62.32	6.23	14.85
9	7	96.62	55.94	43.68	6.24	14.83
10	10	113.76	51.82	61.94	6.20	14.92
11	8	107.38	57.92	49.46	6.18	14.97

Tablo 2. Şekil 3'deki Film Üzerinde Ölçülen Değerler ve Hesaplanan b-birim Hücre Boyutu

Aralık No	Sayısı (n)	z_1 (mm)	z_2 (mm)	Δz (mm)	Δz	$\frac{\lambda F}{c}$
					n	c* (Å)
1	9	105.67	59.13	46.54	5.17	17.89
2	14	115.95	44.57	71.38	5.10	18.14
3	16	121.17	39.33	81.84	5.12	18.07
4	18	131.35	39.35	92.00	5.11	18.10
5	18	131.34	39.39	91.95	5.11	18.10 c=18.11±0.096 Å
6	18	126.18	34.32	91.86	5.10	18.14
7	16	120.99	39.43	81.56	5.10	18.14
8	14	115.98	44.67	71.31	5.10	18.14
9	8	100.56	59.99	40.57	5.07	18.25

Tablo 3. Şekil 2'deki Film Üzerinde Ölçülen Değerler ve Hesaplanan c-birim Hücre Boyutu

NELSON-RILEY ve ERXREG adlı Data General MV 4000 bilgisayar sisteminde çalışan Fortran 77 dilindeki programlar ile yapılan lineer regresyon analizi sonucu birim hücre parametrelerinin en iyi değerleri ve bunlara ait standart sapma miktarları

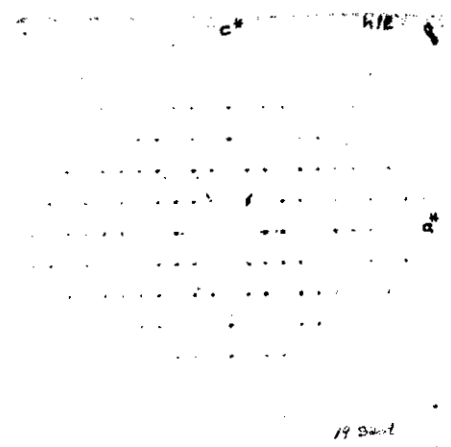
$$a = 10.514 \pm 0.023 \text{ Å},$$

$$b = 14.835 \pm 0.064 \text{ Å},$$

$$c = 18.123 \pm 0.061 \text{ Å}$$

bulundu [3].

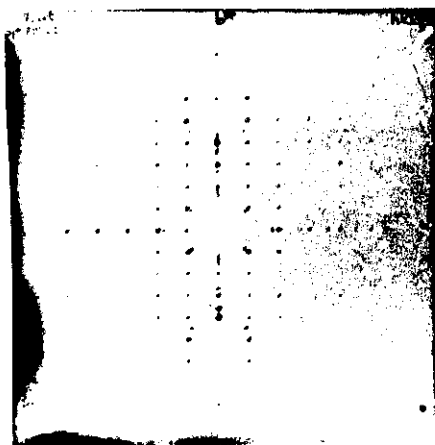
Buerger presesyon metodu ile $(h1l)$, $(1kl)$ ve $hk1$ üst tabaka filmleri de çekildi (Şekil 5,6,7).



Şekil 5. (h1) Buerger Presesyon Üst Tabaka Fotoğrafı,
45 kV, 26 mA, CuK α , filtresiz, ışınlama sü-
resi:19 saat.



Şekil 6. (1kl) Buerger Presesyon Üst Tabaka Fotoğrafı,
45 kV, 26 mA, CuK α , filtresiz, ışınlama sü-
resi:8 saat.



Şekil 7. (hkl) Buerger Presesyon Üst Tabaka Fotoğrafi,
45 kV, 26 mA, CuK α , filtersiz, ışınlama süresi: 7 saat.

Döner Kristal Tekniği İle İnceleme

Ters örgü düzlemine dik bir eksen etrafında dönen bir kristal aynı eksenli bir seri koni yüzeyinde difraksiyon demetleri oluşturur. Bu koniler yansımaya küresini ters örgü düzlemlerinin bu küre ile yaptığı dairesel arakesit boyunca keserler ve dönme ekseni ile eş eksenli olan silindirik film üzerinde doğrusal çizgi boyunca yansımaya noktaları oluştururlar.

Döner kristal tekniğinde birim hücre boyutu aşağıdaki bağıntı yardımıyla hesaplanır [4].

$$d_{hkl} = \frac{n\lambda}{\sin \tan^{-1}(y_n/r_f)}$$

Burada n tabaka numarası, y_n n 'inci tabakanın sıfırıncı tabakaya uzaklışı ve r_f de kamera yarıçapıdır ($=28.65$ mm). Bu bağıntı yardımıyla a ekseninden takılı kristal için çekilen filmdeki dört tabaka için a ekseninin uzunluğu hesaplandı (Şekil 8) ve a ekseninin ortalama değeri $a= 10.52$ Å bulundu (Tablo 4).



Şekil 8. a ekseninden Takılı Kristalin Döner Filmi,
ışınlama süresi:12 saat.

No	x_i (mm)	x_s (mm)	$2x_n = x_s - x_i$ (mm)	x_n (mm)	$a = \frac{n\lambda}{\sin \tan^{-1} (x_n/r_f)}$
					$n\lambda$
1	82.48	73.94	8.54	4.27	10.46
2	87.09	69.34	17.74	8.62	10.70
3	92.32	64.10	28.22	14.11	10.47
4	99.09	57.34	41.75	20.88	10.47
5	109.23	47.48	61.75	30.88	10.52

Tablo 4. a Ekseni Boyunca Alınan Döner Kristal Filminde Tabaka Yükseklikleri ve
Eksen Uzunuqları

Benzer şekilde c ekseninden takılı kristal ile de döner kristal filmi çekildi (Şekil 9). Bu film üzerinde yapılan ölçümler sonucu bu eksenin en iyi değeri $c = 18.10 \text{ \AA}$ olarak bulundu (Tablo 5).



Şekil 9. c Ekseninden Takılı Kristalin Döner Filmi,
ışınlama süresi:11 saat.

No	z_i (mm)	z_e (mm)	$2z_n = z_s - z_i$ (mm)	z_n (mm)	$c = \frac{n\lambda}{\sin \tan^{-1} (z_n/r_f)}$
1	97.51	92.70	4.81	2.41	18.39
2	102.60	87.60	15.00	7.50	18.26
3	105.46	84.76	20.70	10.35	18.15
4	108.62	81.69	26.93	13.47	18.12
5	112.16	78.23	33.93	16.97	18.15
6	116.52	73.99	42.53	21.27	18.11
7	129.64	61.15	68.49	34.25	18.09

Tablo 5. c Eksen Boyunca Alınan Döner Kristal Filminde Tabaka Yükseklikleri ve
Eksen Uzunlukları

Weissenberg Tekniği İle Çalışmalar

Bu teknikte kristal, bir eksen etrafında osilasyon hareketi yaparken, kristalin çevresinde bulunan silindirik film kaseti de osilasyon eksenin doğrultusunda ve kristalin osilasyon hareketi ile eş zamanlı olarak sonlu miktarda hareket eder. Ayrıca, film kasetinin içinde yer alan silindirik bir tabaka seçicisi, sadece tek bir tabakaya ait yansımaların film üzerine düşmesini sağlar. Bir tabakanın tümüyle tek bir film üzerine kaydedilmesi, yorum yapmayı ve indisleme işlemini kolaylaştırmaktadır.

Sıfırıncı tabaka yansımalarının Weissenberg teknigi ile filme kaydedilmesi için $\mu=0$ alındı. a ekseninden ve c ekseninden takılı kristaller ayrı ayrı toplam 200° lik osilasyonla ışınlandı (Şekil 10). a ekseninden takılı kristal ile alınan film üzerinde a* ve b* eksenteri ve bunların arasındaki γ^* açısı ölçüldü ve gerçek örgü parametreleri belirlendi (Tablo 6).



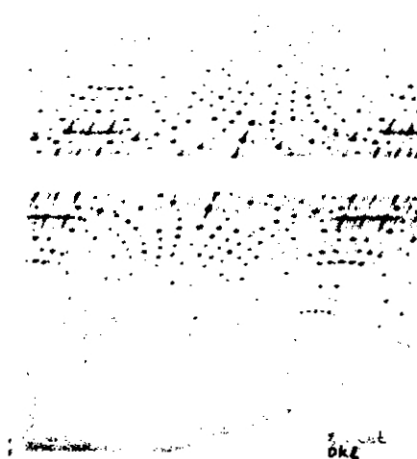
Şekil 10. (hk0) Eş-Eğim Weissenberg Fotoğrafı,
Ni filtre, ışınlama süresi: 18 saat.

No	Aralık Sayısı(n)	$x_0(\text{mm})$	$x_s(\text{mm})$	$x_n = x_s - x_0(\text{mm}) (=0_n^\circ)$	$a = \frac{n\lambda}{2 \sin(x_n^\circ)}$
					$n\lambda$
1	2	91.15	99.58	8.44	10.50
2	4	91.15	108.21	17.07	10.50 $a=10.53 \pm 0.04 \text{ \AA}$
3	8	91.15	126.91	35.77	10.55
4	12	91.15	152.18	61.04	10.57

Tablo 6. (hk0) Eş eğim Weissenberg Filmi Üzerinde Yapılan Ölçümler Sonucu. a birim hücre parametresinin hesaplanması

a^* ve b^* eksenleri arasındaki uzaklık 45 mm olarak ölçüldüğü ve Weissenberg filminde 1 mm=2° olduğundan, $\gamma^*=90^\circ$ bulundu. Buradan $\gamma=180^\circ-\gamma^*=180^\circ-90^\circ=90^\circ$ elde edildi [5].

Benzer işlemler c ekseninden takılı kristal ile çekilen film üzerinde yapıldı (Şekil 11). Sonuçlar Tablo 7 ve 8'de verildi.



Şekil 11. (0kl) Tabakası Es-eğim Weissenberg Filmi,
Ni filtre, ışınlama süresi: 8 saat.

Aralık No	Sayısı(n)	y_0 (mm)	y_s (mm)	$y_n=y_s-y_0$ (mm)(=0, n°)	$\frac{n\lambda}{2 \sin(y_n)}$
					$b=$
1	4	95.77	107.52	11.76	15.13
2	6	95.77	113.62	17.86	15.08
3	8	95.77	119.97	24.21	15.04
4	10	95.77	126.62	30.86	15.03
5	12	95.77	133.84	38.08	15.00

Tablo 7. (0kl) Es-eğim Weissenberg Filmi Üzerinde Yapılan Ölçümler Sonucu, b-
birim hücre parametresinin hesaplanması

No	Aralık Sayısı(n)	z_0 (mm)	z_s (mm)	$z_n = z_s - z_0$ (mm)(=0 n^0)	$\frac{n\lambda}{2 \sin(z_n)}$
					c=
1	4	95.77	105.59	9.82	18.08
2	6	95.77	110.57	14.80	18.11
3	8	95.77	115.83	20.07	17.97 c=18.05±0.05 Å
4	10	95.77	121.10	25.34	18.01
5	12	95.77	126.59	30.83	18.05
6	14	95.77	132.39	36.63	18.09
7	16	95.77	138.86	43.10	18.05

Tablo 8. (0kl) Eş-eğim Weissenberg Filmi Üzerinde Yapılan Ölçümler Sonucu, c-birim hücre parametresinin hesaplanması

b^* ve c^* eksenleri arasındaki uzaklık 45 mm olduğundan $\alpha^*=90^\circ$ bulundu. Buradan $\alpha=180^\circ-\alpha^*=180^\circ-90^\circ=90^\circ$ elde edilir.

Birim Hücredeki Molekül Sayısının Tayini

Yüzdürme tekniği ile kristalin yoğunluğu, CCl_4 ve toluen kullanılarak $d_0=1.37$ g/cm^3 olarak bulundu. Buradan birim hücredeki molekül sayısı

$$Z = \frac{d_0 \cdot V}{M} \quad (2)$$

bağıntısı yardımıyla hesaplandı.

V=birim hücrenin hacmi (cm^3)

M=molekül ağırlığı (g)

V=a x b x c

V= $10.51 \times 14.84 \times 18.12$

V= $2826.15 \text{ } \text{\AA}^3$

V= $2826.15 \times 10^{-24} \text{ } cm^3$

M= $17 M_C + 10 M_H + 3 M_O + 1 M_S$

M= $17 \times 12.011 + 10 \times 1.008 + 3 \times 16.000 + 1 \times 32.066$

M= 294.333 akb

M= $294.333 \times 1.66 \times 10^{-24}$ g

M= 488.593×10^{-24} g

$$Z = \frac{1.37 \text{ } g \cdot cm^{-3} \times 2826.15 \times 10^{-24} \text{ } cm^3}{488.593 \times 10^{-24} \text{ } g}$$

Z= 7.92

Z≈ 8

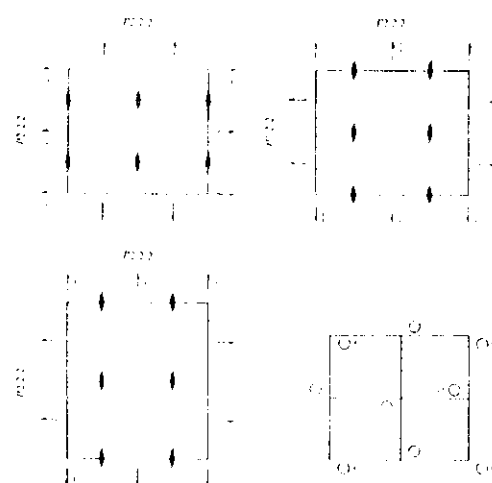
Kristalin birim hücresinde 8 molekül vardır.

Uzay Grubunun Tayini

Ters örgü tabaka fotoğraflarından elde edilen bilgilerden, $\alpha=\beta=\gamma=90^\circ$ ve $a \neq b \neq c$ olduğu görüldü. Bu verilere göre kristal sınıfı ortorombiktir. Kristalin $0\bar{k}l$, $h0l$, $h\bar{k}0$, $h\bar{k}\bar{l}$, $1kl$ ve hkl Buerger filmleri üzerindeki tüm yansımalar dikkatle incelenerek kristal için sistematik sönümler araştırıldı. Yalnızca eksenler boyunca

$$\begin{array}{ll} h00 & h=2n \\ 0k0 & k=2n \\ 00l & l=2n \end{array}$$

ile verilen yansıma şartları olduğu tespit edildi. Sönümler ve birim hücredeki molekül sayısı dikkate alınarak incelenen kristalin uzay grubunun $P2_12_12_1$ (No: 19) olduğuna karar verildi. $P2_12_12_1$ uzay grubunda Şekil 12'de görüldüğü gibi dört eşdeğer konum vardır [6]. Kristalimizin birim hücrende sekiz molekül olduğu hesaplandı. Bu yüzden, iki molekül simetri bağımsız olarak davranışmakta ve bir eşdeğer konumu paylaşmaktadır.



Asimetrik birim: $0 \leq x \leq 0.5$; $0 \leq y \leq 0.5$; $0 \leq z \leq 1$

Eşdeğer konular: (1) x, y, z (2) $-x+0.5, -y, z+0.5$ (3) $-x, y+0.5, -z+0.5$ (4) $x+0.5, -y+0.5, z$

Şekil 12. $P2_12_12_1$ Uzay Grubu Simetri Elemanları

Bireysel Adı	Formül	Molekul Ağlığı (g/mol)	Kristal Sistemi	Üstü Grubu	Δ	δ	γ	β	α	χ	λ_{max} (Å)	λ_{max} (cm $^{-1}$)	λ_{max} (Å)	λ_{max} (cm $^{-1}$)	λ_{max} (Å)	T. (°C)	
4-Benzoyl-5-fenil-Toluol 2,3- Diol	C ₁₇ H ₁₆ O ₂ S	244,333	Ortamda	P(210) 2	0,21	1,534	1,81,2	90	49	70	2628,5	1,38	1,37	4	3016	20,3	
Dinitro-2-chloro-3- methylbutyronitrile 2,3-diol manganat 2-yl İncitme	C ₁₃ H ₁₁ ClNO ₂ S	45,1	Mesoklinik P(21)	12,208	10,413	14,547	90	104,97	90	1623,5	1,64	-	4	912	7,2	Molar 0,71073	29,8
Dinitro-2-chloro-3- methylbutyronitrile 2-yl İncitme manganat	C ₁₃ H ₁₁ ClNO ₂ S	35,2	Mesoklinik P(21)	6,742	6,068	12,555	90	97,44	90	676,5	1,73	-	2	352	10,3	Molar 0,71073	29,4
1-Benzoyl-2-phenoxy-İncitme 1,3,5-tri-phenoxine	C ₂₁ H ₁₄ O ₂ S	350,376	Tümük P(1)	10,350	11,512	7,5,-3	99,52,56,15	10,0,9	264,324	1,27	-	2	-	-	Molar 0,71073	29,3	
4H-Cyclopenta[1,6]d[1,4]- dioxopent-4-one	C ₁₇ H ₁₀ O ₄ S	218,3	Mesoklinik P(21)c	9,439	9,609	11,196	90	112,92	90	935	1,50	1,55	4	443	5,1	Molar 0,71069	-
4H-Cyclopenta[1,6]d[1,4]- dioxopent-4-one	C ₁₁ H ₆ O ₅ S	218,30	Mesoklinik P(21)c	9,331	9,690	11,9065	90	110,098	90	907,18	1,60	1,34	4	448	5,3	Molar 0,70830	17,7
5- β -Dihydro-4H-oxocinopeptis 1,2,3,4,5,6-hexameric Spurcuklu Boronel 2,3,6,9- Junkapte 4- Junkapte 4'- Junkapte 4''- Junkapte 4'''-	C ₁₁ H ₁₀ O ₂ S	220,3	Ortamda	P(21) 4	15,1520	4,8004	14,2083	90	90	1004,7	1,46	1,43	4	450	4,3	Cular 1,5418	-
n-(2-acetylaminomethyl)- hexa-2,4-benzimanganes	C ₁₆ H ₁₄ N ₂ O ₂ S	297,15	Mesoklinik C(2)c	25,355	5,363	16,952	90	110,58	90	2298	1,62	-	6	11,20	1,3	Molar 0,70930	29,6
n-(2-acetylaminomethyl)- hexa-2,4-benzimanganes	C ₁₆ H ₁₄ N ₂ O ₂ S	320,20	Ortamda	P(21)	13,913	19,973	90	90	2660	1,35	-	4	12,48	9,57	Molar 0,70910	1,3	
9H-Cyclopenta[1,6,4,5-o] dibenzop-2-phenyl-Perkütate Benzidinat 1,2,2,3-[1] Benzidinat 1,2,2,3-[1]	C ₁₁ H ₈ NO ₂ S ₂ O ₂	302,4	Mesoklinik P(21)c	10,4615	25,7502	26,840	90	14,657	90	7210	1,69	1,7	2,4	-	6,6	Molar 0,70910	17,3
Dithionel 1,2,3,4,6- Tetrahydro-2-phenyl- Tetrahydro-2-phenyl-	C ₁₁ H ₁₀ NO ₂ S ₂ O ₂	418,1	Mesoklinik C(2)c	23,101	6,819	11,991	90	97,79	90	1871	1,48	1,47	4	-	-	Cular -	-
Dithionel 1,2,3,4,6- Tetrahydro-2-phenyl-	C ₁₁ H ₁₀ NO ₂ S ₂ O ₂	290,1	Tümük P(1)	7,1949	4,7293	9,2967	10,7687	99,974	46,817	560,62	1,68	1,67	2	-	4,3	Molar 0,70910	14,3

Tablo 9 HYOFFENTUREVLERİLE YAPILAN X-İNİ KRİSTAL YAPI ÇALIŞMALARI

SONUÇ VE TARTIŞMA

Yapılan çalışmada, Buerger presesyon yöntemiyle birim hücre parametreleri ölçülmüş, kristal sistemi belirlenmiş, sönüm şartları tespit edilip, uzay grubu tayin edilmiştir. Aynı parametrelerden ikisi döner kristal ve diğer beş parametre ise Weissenberg yöntemi ile saptanmış, hesaplanan değerler arasındaki farkın hata sınırları içinde olduğu görülmüştür.

Yüzdürme yöntemiyle CCl_4 ve toluen kullanılarak ölçülen kristal yoğunluğu (1.37 g/cm^3) ile birim hücre parametrelerinden hesaplanan yoğunluğun (1.38 g/cm^3) iyi uyuşması bulunan parametre değerlerinin doğruluk derecesilarındaki görüşlerimizi desteklemektedir.

Kristal sistemi ve gözlenen sönüm şartları uzay grubunun $P_{2,1,2,1}$ (No 19) olduğunu gösterdi. Ölçülen kristal yoğunluğu hesaplanan birim hücre parametreleri ve molekül ağırlığı yardımıyla, birim hücrede 8 tane molekül bulunduğu hesaplandı. Tayin edilen uzay grubunun 4 eşdeğer konuma sahip oluşu nedeniyle aynı eşdeğer konumun iki simetri bağımsız molekülce paylaşıldığı anlaşıldı. Tiyofen türevlerinin fizik ve kimyada öneme sahip polimerlerin elde edilmesinde oynadıkları rol sebebiyle, değişik tiyofen türevleri x-ışınıları difraksiyon yöntemleriyle de incelenmiştir. Yapılan çalışma ve diğerlerinin kıyaslanması Tablo 9'da görülmektedir.

Değişik tiyofen türevleri farklı kristal sistemlerine sahip olabilmekte farklı birim hücre parametrelerine, farklı yoğunluk ve farklı sayıda molekülü birim hücrelerinde içerebilmektedir.

TEŞEKKÜR

Bileşigi sentezleyip, kristalleştiren ve incelememiz için veren Arş.Gör.Adem Önal, Yrd.Doç. Dr.Behzat Altural ve Prof.Dr.Yunus Akçamur'a teşekkür ederiz.

KAYNAKLAR

- [1] G.HICBER, M.HANACK, K.WURST, J.STRÄHLE, *Chem.Ber.*,**124**, 1597-1605,1991.
- [2] L.V.AZAROFF "Elements of X-Ray Crystallography", Mc Graw-Hill Book Comp.Inc., New York,London Sydney,Chap.16,1968.
- [3] M.AKKURT, S.ÖZTÜRK "NELSON-RILEY" ve "ERXREG", Nelson-Riley ve Lineer Regresyon Analiz Programı, Erciyes Ün.Fen.Ed.Fak.Fizik Bölümü,X-Işinları Lab.,1991,Kayseri; S.ÖZTÜRK, Yüksek Lisans Tezi, E.Ü,Fen Bil.Enst.,1991,Kayseri.
- [4] M.J.BUERGER, "X-Ray Crystallography", Robert E.Krieger Pub.Comp.,New York, Chap.5,1980.
- [5] E.W.NUFFIELD, "X-Ray Diffraction Methods", John Wiley Sons Inc.,New York, London, Sydney, Chap.11,1966.
- [6] "International Tables for Crystallography", Volume A, Space Group Symmetry, R.Reidel Publishing Comp.Dordrecht, Reprint with correction, London, 1984.
- [7] JAN.L.M., *Acta Cryst.*, C**46**,1974-1976,1990.
- [8] K.PETERS, E.M.PETERS, H.G.VON SCHNERING, G.KOLLENZ, E.TERPETSCHNING E, W.OTT, *Z.Kristallogr.*, 301-306,1986.
- [9] I.CYNKIER, *Acta Cryst.*, B**32**, 1490-1495,1976.
- [10] JAN ERIK ANDERSSON, *Acta Cryst.*, B**34**,2235-2241,1978.
- [11] JAN ERIK ANDERSSON, *Acta Cryst.*, B**31**,1396-1399,1975.
- [12] I.CYLNKIER, H.HOPE, *Acta Cryst.*, B**34**,2290-2293,1978.
- [13] JANINE M.COONEY, LOUIE H.P.GOMMANS, LYND SAY MAIN BRIAN K.NICHOLSON, *J.Organometal-Chem.*, **349**,197-207,1988.
- [14] JAN ERIK ANDERSSON, *Acta Cryst.*, B**37**,401-406,1981.
- [15] BENGT AURIXILLIUS, *Acta Chem.*, B**28**,998-1002,1974.
- [16] JAN ERIK ANDERSSON, *Acta Cryst.*, B**35**,1349-1354,1979.